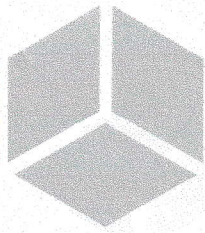


SEMINAR PROSIDING

25 SEPTEMBER 2019
BANDAR LAMPUNG



TANTANGAN DAN PELUANG RISET PERGRUAN TINGGI
UNTUK MEMENUHI KEBUTUHAN DUNIA INDUSTRI BERKELANJUTAN

SINTA 2019

ISSN 2655-2914

SEMINAR NASIONAL
ILMU TEKNIK
DAN APLIKASI INDUSTRI



9 772655 291010

+62 721 704947 PABX : 202



sinta.eng.unila.ac.id

+62 721 704947



+62 721 704947



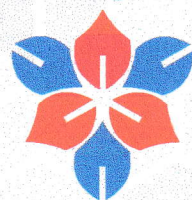
INKINDO



BUKITASAM



BKS PTN BARRAT



RISTEKDIKTI



FAKULTAS TEKNIK
UNIVERSITAS LAMPUNG



..... 100 - 106	Berbasisi Internet of Things Rancaeung Bangun Monitoring Laju Detek Jantung dan Shuhu Tubuh dengan Android
..... 107 - 115	Rancaeung Bangun Filter LCL Pada Inverter Satu Phasa di Pembangkit Listrik Tenaga Surya
..... 116 - 124	Pembangunan Berekaljutan di Era Revolusi Industri 4.0 dari Sudut Pandang Teknik Sipil
..... 125 - 130	Batuan Basah Mararam Baru Lampung Timur Pengetahuan Perakuan Proses Pendinginan Normalizing Terhadap Hasil Peleburan
..... 131 - 139	Penepakan Teknologi Pompa tanpa Motor (Hydraulic Ram Pump) untuk membantu Irigasi Pertanian Masyarakat di Sumerejo Kecamatan Kemiling Bandar Lampung
..... 140 - 148	Perancangan Model Sistem Pembangkit Listrik Menggunakan Turbin Airtan Silang Jofri Botke Simaga, Novri Tanit, Sutarni Erwiyantoro
..... 149 - 157	Penggunaan RPL dan SDI dalam Meningkatkan Perbaikan Cact Lubang pada Charariah Nihen, Akhmad Tri Heriyanto, Rahayu Sutisyantri, M. Karanti, Sasana Putra
..... 158 - 162	Analisis Desain Bangunan Tejuin Untuk Menggantikan Pada Banngunan Bawah Jembatan Kereta Api BH. 364 Km 112+500 antara Purwakarta – Padalarang
..... 163 - 168	Pengaruh Keteraanan Sosial Masyarakat Desa Wanita dalam Keteraanan Identitasnya Selaku Fitr-F-Score untuk Klasifikasi Tingkat Kesegaran Daging Sapi Lokal
..... 169 - 176	Bahan Tula Di Lampung Selatan Edward Riyadi Irawan, Lusmetita Afiani, Syahdu Syuhada, Rahmat Kurtiawan, Idrhamahadi Adha
..... 177 - 183	Titin Xuhanit, Henny Fitriawati, Harry Dian Sepiana, dan Isna Oladiani meninggunkan Ekstraksi Filter Citra
..... 184 - 189	Simulasi Environment Setting dalam Penyajian Objek Arsitektur Dengan Luminion dalam Pengalaman Interaksi Komunikasi Berbasis 3d Visual Di Era RI 4.0
..... 190 - 195	Sistem Kontrol Hidropotnik Ferigiasi Cabai Merah Berbasis Interpretasi Things
..... 196 - 202	Analisis Stabilitas Lereng dan Penggunaan Longsor Menurukan Muaka Air Tanah Study Kasus Longsor Kalitidaga, Banjamegar, Jawa Tengah
..... 203 - 211	Analisis Slope Stability Using GIS (Geographic Information System) In North Rimbaan Hill Area, Ulubelu, Tanggamus Dari Widi Mandasari, Dithia Arimulyo, Tri Wahyu Saputra, Ozaa Dihma, Bagus Sapto Mulyadi

1. Pendahuluan

Kata kunci: Kuat Geser, Pemadatan Tanah, Tanah Besida, UCS Test

E-mail korrespondensi: edwardrawan30@gmail.com

Program Studi Ilmu Kependidikan, Institut Teknologi Sumatera, Jl. Jefferson Raya Cauda, Lampung Selatan 33365, Jurusan Teknik Sipil, Universitas Lampung, Jl. Prof. Soemarno Brodjonegoro, Bandar Lampung 35145

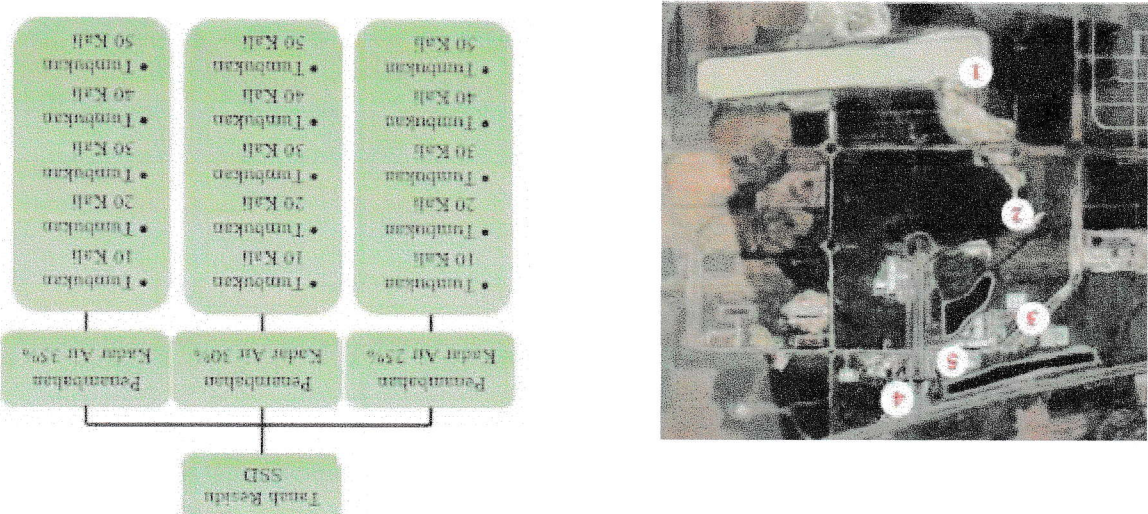
Eduward Riyad Syuhada, Syahidus Syuhada, Rahmat Kurniawan, Idhamahadi Adha

Hubungan Antar Kuit Geser dan Pemadatan Tanah Residu Hasil Pelapukam Batuan Tula Di Lampung Selatan

Pada penelitian ini telah dilakukan percobaan tentang sifat tisk dari tanah residi Tula dan membranik tanah yang ditampilkan pada tabel 1. Percoaban dengan analisa satinyanya ukuran menunjukkan persentase tanah yang lolos dari saringan ukuran 0,075 mm lebih dari 80% dan dari pengujian tersebut limits didapatkan nilai indeks plastisitas yang tinggi. Dikarenakan nilai indeks plastisitas lebih dari 10%.

3. Pembahasan

Gambar: (a) Lokasi Pengambilan sampel, (b) Bagian alir penelitian.



Contoh tanah yang dipadatkan dan pengecoran akan menciptakan struktur yang kuat dan tahan lama. Dengan teknologi ini, kita dapat membangun jalan yang kuat dan tahan lama di daerah dengan tanah yang lembek.

Pengambilan sampel dengan tabung undisturbed dan distribusi sample. Pelaksanaan pengujian dilakukan pada dasar sampel yang bersifat fisik pada tanah asli yang berfungsi untuk mengetahui sifat fisik tanah tersebut, Dz, Brasa M. 2016. Tahapan pengujian tersebut dilakukan berdasarkan ASTM dan Panduan praktikum di Laboratorium Mekanika Tanah ITBRA.

Peningkatan ini memperkuat pada peningkatan sampel diambaran sampel diambaran yang melibatkan tim ahli residu hasil pelapukan batuan formalitifia Lampong berada di Kawasan Kamпус Institut Teknologi Sumatera (ITS), Kecamatan Jati Agung, Kab. Lampong Selatan, Provinsi Lampung. Sampel diambar pada lokasi yang ditunjukkan pada gambar 1a.

2. Eksperimentai

Sebab konstruksi bangunan diatas tanah tersebut residu terdiri dari unsur massa tanah yang baik. Jika tanah dasar tidak cukup baik, banyak konsekuensi yang akan terjadi pada bangunan diatasnya, seperti tejaidi konsolidasi, keruntuhannya dan ketahanan pondasi mendukung beban diatasnya. Selain satu parameter teknis konsolidasi, keruntuhannya dan ketahanan pondasi yang akhirnya akan berpengaruh pada tanah yang baik. Meskipun gaya tahanan internal yang bekarya per satuan lahan masih tanah untuk menahan keruntuhannya atau kegagalan sepanjang bidang rumah dalam massa tanah tersebut, Dais, 2016.

hal tersebut, tuisuan dan penelitian ini menemui sitik dan mekarik dari batuan ultra yang ada di lokasi Desa Way Hui Lampong Selatan. Pemilihan lokasi ini berdasarkan hasil pengamatan batuan yang ada dipermukaan tanahnya merupakannya batuan ultra yang berwarna putih. Batuan ultra yang merupakannya residu yang digunakan sebagai bahan bangunan, dan lokasi setempat akan dibangun beberapa bangunan bertingkat, sehingga memerlukan data tanah seperti nilai kepadatan dan nilai kuat geser tanah residu.

Hasil ini disesuaikan karena pada jumlah pemadatan 30 kali tumbukan mengakibatkan tersebut menanggali over compaction ketika dipadatkan. Jika tanah dipadatkan dengan tingkat pemadatan yang tinggi/lebih besar dari pemadatan maksimumnya, maka nilai berat volume keriting maksimum akan kader air optimum menurun, lihat gambar 1 dan tabel 2.

Parameter pengujian dari tanah residu hasil perlakuan batuan tuta adalah seperti tabel 1. Sampai tanah dilakukan perlakuan dengan beberapa kali putulan. Yaitu menggunakan proctor standar test. Setelah mendapatkan nilai berat volume ketinggi makasimum dan kadar air optimum. Nilai pada energi pemadatan dibuktikan dengan makasimal. Tetapi setelah sampai 40 kali putulan mendapatkan nilai yakni dari kadar air optimum, yang makasimal. Tetapi setelah pemadatan energi pemadatan sampai dengan kali putulan, maka mendapatkan nilai berat volume ketinggi makasimum dan kadar air optimum. Hal ini di buktikan dengan jumlah pemungkakan lebih kecil dari 50 x tumbukan. Hal ini di buktikan dengan menurun, dibandingkan dengan jumlah pemungkakan sebelumnya. Pada pengujian yang dilakukan oleh penelitian yang dilakukan oleh Fagundes, 2015, bahwa tegangan geser sutu tanah akan dipengaruhi oleh tingkat kepadatan sutu masa tanah.

Pengujian awal adalah dilakukan terhadap beberapa model modifikasi sampel tanah berdasarkan nilai kadar air dan jumlah tumbukanya. Tujuan dari pengujian ini untuk mendapatkan nilai kadar air optimum (w_{opt}) dan nilai berat volume kering maskimun (y_{dry}). Metode Pelaksanaan pengujian ini mengikuti prosedur yang ada pada ASTM D-1557. Hasil interpretasi pengujian ini termasuk nilai energi, E ditampilkkan pada grafik 1 dan tabel 2.

Bahasa tua mempunyai warma putih dan menyadi altermat sebagaa bahau bananguan, hal ini dipilih karena mempunyai tok yang banyak di beberapa daerah sekitar Lampung Selatan serta diderah mensadi obsek penelitian ini akam dibangun basanguan bertingkat. Sehingga akan membuktikan nilai kepadatan dan keselamatan geser yang akan digunakan sebagai dasar pondasi dan perkuatan lainnya.

4.1 Pemadatan Tufa.

ujii tersebut.

kadar air 35% denganan 40 kali penumbukan. Dimana pengujian runtuh pada tegangan maksumum dari benda ditampikan diambar salah satu contoh, yaitu pada nilai maksumum denganan uji I denganan penambahan gralik tegangan-regangan, serta lingkaran Mohr-Columb, Gambar 3. Didalam Gambar 3, yang Hasil interpretasi dari seluruh pengujian ditampikan pada tabel 3, dan hasil penggarbaran data pada

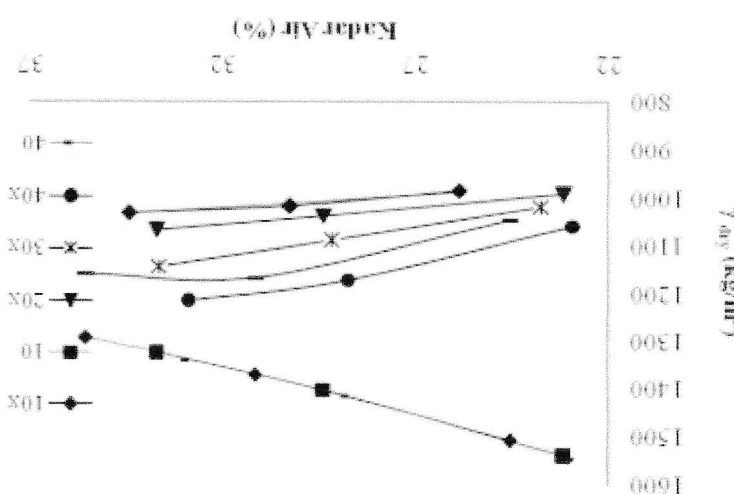
pemadatan 10 kali, 20 kali, 30 kali, 40 kali, 50 kali tumbukan dan variasi kadar air 25%, 30%, 35%. dilakukannya pada tanah residu hasil pelapukan batuan tiga lampung yang dipadatkan denganan regangan, dan kuat tekan bebas. Berdasarkan hasil pengujian, didapatkan nilai kuat tekan bebas akan regangan, dan kuat tekan bebas menegunkakan alat UCS, dimana alat ini dapat mengukur teganganan,

4.2 Kuat Tekan Bebas

	Kadar air (%)	kg/m^3	KJ/m^3	Energi	Jumlah	Tumbukan	Proctor	Zero Air Void (ZAV)	N	KJ/m^3	Kadar air	$\text{w} (\%)$	kg/m^3	$\text{w} (\%)$	kg/m^3		
10	238.77	30.25	1016.72	29.37	1540.69	34.39	1031.64	33.67	1325.46	23.15	991.35	23.15	1540.29	33.67	1068.11	33.67	1326.21
20	477.54	29.37	1039.69	29.37	1405.69	34.39	1031.64	33.67	1325.46	23.15	991.35	23.15	1540.29	33.67	1068.11	33.67	1326.86
30	716.31	29.13	1089.67	29.13	1410.39	33.63	1145.88	33.63	1326.21	23.72	1020.23	23.72	1526.86	33.63	1145.88	33.63	1326.30
40	955.08	28.73	1173.43	28.73	1418.40	32.85	1214.91	32.85	1340.07	22.90	1060.74	22.90	1540.30	32.85	1214.91	32.85	1340.64
50	1193.8	31.11	1167.85	31.11	1371.96	30	1193.8	31.11	1371.96	24.51	1046.99	24.51	1508.64	30	1193.8	31.11	1371.51

Table 2: Pengaruh Energi tumbukan denganan nilai hasil uji Proctor Standar.

Gambar 2. Pengaruh Energi Kepada tanah terhadap Berat lisik Kelembang dan Kadar Air Optimum



masing-masing percoobaan.

Volumen tanah keriting maksumum dengan energi pemadatananya. Nilai γ_d diamati dari nilai maksumum dari hubungan kedua parameter tersebut. Pada gambar 3 didapatkan hasil untuk mendapatkan nilai berat Graphik 3 mempresentasikan persamaan regresi polinomial orde 2, hal ini dilakukan untuk mendapatkan

4.3 Hubungan antara berat volume tanah keriting maksumum dengan energi

du dan cu menurun. dipadukan dengan tingkat pemadatan yang tinggi/lebih besar dari pemadatan maksumumnya, maka nilai sampel tanah dalam keadaan kadar air optimum tanah akan lebih sensitif ketika dipadukan. Jika tanah kali timbukan dengan penambahan kadar air 25%, 30%, 35% nilai cu dan cu menurun. Hal ini disebabkan 40 kali timbukan dengan penambahan kadar air 25%, 30%, 35%. Sedangkan pada variasi pemadatan 50 kali timbukan hasil keseluruhan pengujian didapatkan nilai cu maksumum, pada variasi pemadatan Berdasarkan hasil keseluruhan pengujian didapatkan nilai cu dan cu maksumum, pada variasi pemadatan

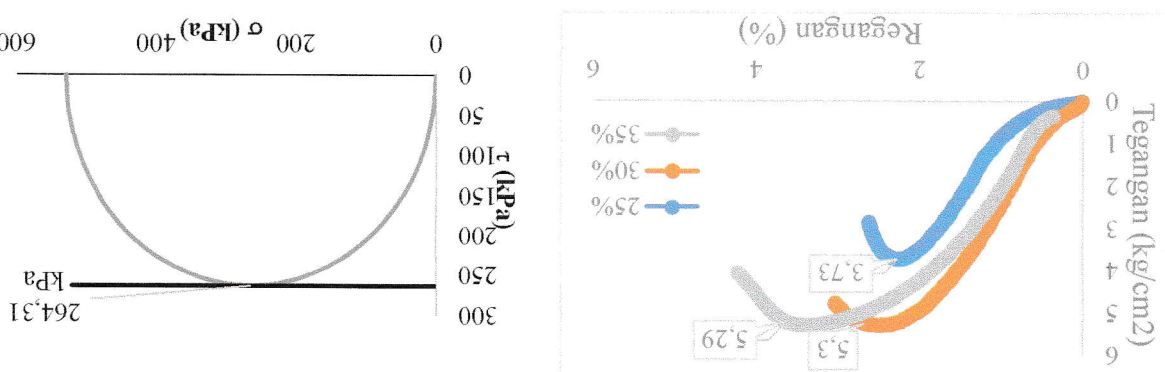
Timbukan (%)	Pengujian 1	Pengujian 2	Pengujian 1	Pengujian 2
Jumlah Kadar Air	cu (kg/cm ²)	cu (kPa)		
25.83	1,08	0,82	54,1	40,7
30.25	1,39	1,56	69,39	78,1
34,39	1,76	1,73	87,85	86,37
23,15	1,57	1,77	78,61	88,74
29,37	2,81	2,15	140,51	107,47
33,67	3,37	3,34	168,58	167
23,72	2,71	2,08	135,68	104,05
29,13	3,66	3,4	183,07	169,93
33,63	4,04	3,85	201,81	192,72
22,90	3,73	4,22	186,61	211,19
32,85	5,29	4,91	264,78	245,55
24,51	3,38	3,7	168,84	184,77
31,11	5,17	4,81	258,51	240,27
50	35,54	3,03	2,67	151,65
				133,51

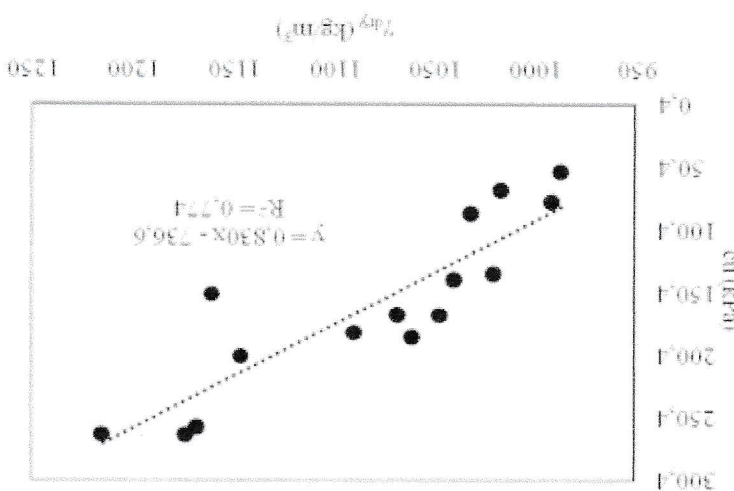
Table 3. Rekapitulasi hasil pengujian kuat tekan Bebas

sebesar 264,31 kPa.

Dari hasil interpretasi gambar 3a dan 3b dapat diartikan bahwa, pada pemadatan 40 kali timbukan terjadi penambahan kadar air 35% dengan 40 kali timbukan dimana nilai cu pada penambahan kadar air 35%

Coldumb penambahan kadar air 35% dengan 40 kali timbukan (a) Limkarin Mohr-Gambar 3. (a) Grafik tegangan-regangan penambahan kadar air dengan 40 kali timbukan dan (b) Limkarin Mohr-



Gambar 5. Grafik Hubungan Antara cu dengan Berat Volume Tanah Keriting, y_{dry} 

4.4 Hubungan antara cu dengan berat volume tanah keriting

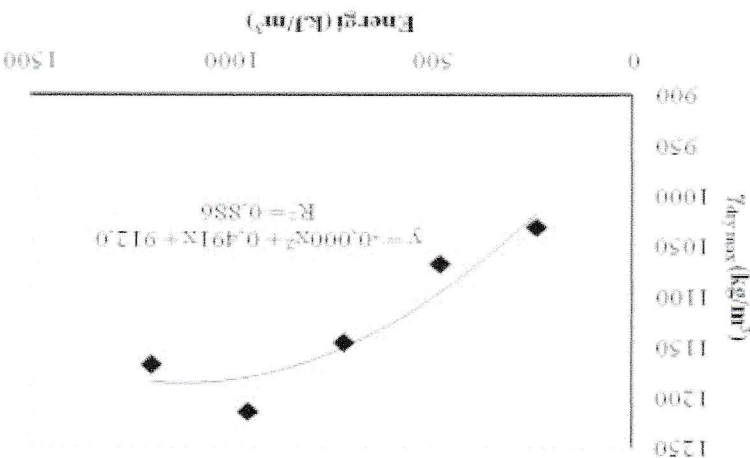
dilama y_{dry} adalah berat volume keriting maksimum.dan E, energi pemadatan yang digunakan.

$$(1) \quad y_{dry} = 0,4911(E) + 912,01$$

disederhanakan sebagaimana berikut:

Berdasarkan gambar 3, hubungan antara energi dengan berat volume tanah keriting maksimum menghasilkan persamaan yang tertera dalam gambar 3. Karna ordre tingkat 2 adalah 0 maka dapat

Gambar 4. Grafik Hubungan Antara Energi dengan Berat Volume Tanah Keriting Maksimum



Jumlah Tumbukan	Energi (KJ/m³)	Dry max
10	238,77	1031,64
20	477,54	1068,11
30	716,31	1145,88
40	955,08	1214,91
50	1193,84	1167,85

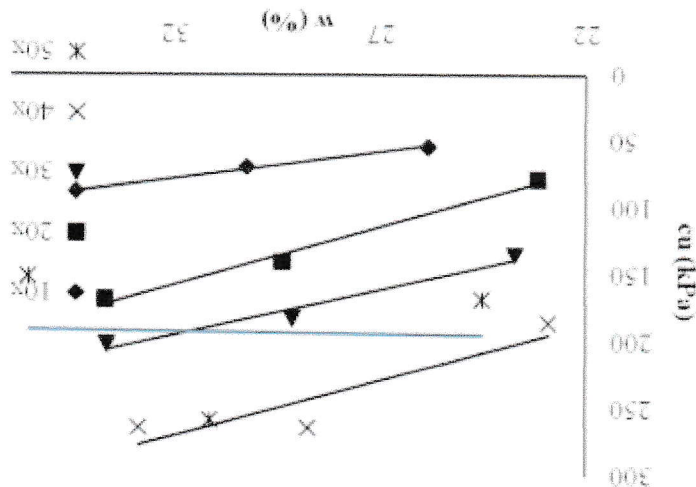
Tabel 4. Hubungan antara berat volume tanah keriting maksimum dengan energi.

(3)

$$cu = 3,9397(w) - 48,36$$

Persemaan linear diatas berfungsi untuk mendapatkan nilai cu. Dimana apabila dengsan mengunci nilai kadar air dan jumlah tumbukan, maka nilai cu akan didapatkan. Berdasarkan gambar 3, hubungan antara cu dengan kadar air menghasilkan persamaan sebagai berikut:

Gambar 3. Grafik Hubungan Antara cu dengan Kadar Air



4.5 Hubungan antara cu dengan kadar air

(2)

$$cu = 0,8303(y_{dry}) - 736,6$$

Persemaan linear diatas didapatkan hasil untuk mendapatkan nilai cu. Dimana apabila dengsan mengunci nilai berat volume tanah keriting dan jumlah tumbukan, maka nilai cu akan didapatkan. Berdasarkan gambar 3, hubungan antara cu dengan berat volume tanah keriting menghasilkan persamaan sebagai berikut:

Tumbukan	jumlah	w (%)	y_{dry} (kg/m ³)	Energi (KJ/m ³)	cu (kPa)
10	30,25	1016,72	238,77	69,39	54,1
20	29,37	1039,69	477,54	140,51	78,61
30	29,13	1089,67	716,31	183,07	135,68
40	28,73	1173,43	955,08	264,78	186,61
50	31,11	1167,85	1193,84	258,51	168,84
60	35,54	1160,29			264,31

Table 5. Hubungan antara cu (cohesion undrained). dengsan berat volume tanah keriting dan kadar air

- Wibawa, Y. S., dkk. 2017, "Characteristics and Engineering Properties of Residual Soil of Volcanic Deposits", IOP Conf. Ser: Earth Environ. Sci. 118012041
- Rahardjo, H., dkk. 2004, "Characteristics of Residual Soils in Singapore as Formed by Weathering", Engineering Geology, Vol 73 p. 157-169
- Putra, P. S., Yulianto, E. 2017, "Karakteristik Endapan Tsunami Krakatau 1883 di Daerah Tarakan, Lampung", Ris. Geo. Tam Vol. 27, No. 1
- Fagundes, Lucas S., dan Rodriguez, A., R. 2015, "Shear Strength of a Natural and Compacted Soil", Vol. 20 Nasional Kebumian Ke-6, Teknik Geologi Universitas Gadjah Mada
- Berdasarkan Integrasit Citra Aster, DEM dan Geologi Permukaan", Prosiding Seminar Darmawan, I. G., Setiadi, D. L., dan Witolo, D. 2013, "Interpretasi Geologi Gunung Rajabasa Bujaang, dkk. 2012, "Handbook of Tropical Residual Soils Engineering", London: CRC Press
- Bromo, S., Asmoro, P., G., dan Sulistyono. 2012, "Evolusion of Rajabasa Volcano in Kalimantan Area and Das, Braja M. 2016, "Principle of Geotechnical Engineering", Boston: Cengage Learning

Dafatar Pustaka

3. Persamaan yang didapat dari hasil penelitian ini belum ada nilai R yang mendekat 1 (satu), hal ini referensi sebab hasil percobaan secara keseluruhan mengikuti garis lurus yang ada.
- c. Hubungan antara cu dan kadar air dengan variasi pemadatan 10, 20, 30 dan 40 \times tumbukan, persamaan yang digunakan terdapat pada persamaan nomor 3.
- b. Hubungan antara cu dengan ketebalan tanah kerikil dengan variasi pemadatan maka persamaan yang digunakan terdapat pada persamaan nomor 2. Variasi tumbukan yang persamaan yang berat volume tanah kerikil dengan variasi pemadatan maka nilai tumbukan yang persamaan antara cu dengan variasi pemadatan 10, 20, 30 dan 40 \times tumbukan.
- a. Hubungan antara energi dengan berat volume tanah kerikil maksimum, persamaan yang digunakan terdapat pada persamaan nomor 1.
2. Dari data uji kuat geser dan pemadatan didapatkan persamaan-persamaan sebagai berikut:
1. Nilai kuat geser beratmabah pada variasi pemadatan 10 kali, 20 kali, 30 kali, 40 kali tumbukan dan Dari hasil penelitian yang telah dilakukan, dapat dituliskan sebagaimana berikut:
2. Dari kuat geser dan pemadatan yang tinggi/lebih besar dari pemadatan maksimumnya, maka nilai cu dan dengan tingkat pemadatan yang tinggi/lebih besar dari pemadatan maksimumnya, maka nilai cu dan dalam keadaan kadar air optimum tanah akan lebih sensitif ketika dipadatkan. Jika tanah sampel tanah pada variasi pemadatan 30 kali tumbukan mengalami penurunan. Hal ini disebabkan sampel tanah didapatkan nilai kuat geser maksimum yaitu pada variasi pemadatan 40 kali tumbukan. Sedangkan didapatkan nilai kuat geser maksimum pada variasi pemadatan 10 kali tumbukan dan

3. Kesimpulan

Dari hasil penelitian dan beberapa kaidah arit dalam tumbukan, menghasilkan nilai optimum pada 40 kali tumbukan maka nimus cu yang dipakai sebagaimana acuan referensi adalah persamaan nomor 5.

$$(7) \quad cu = -0,3775(w) + 204,47$$

$$(6) \quad cu = 8,1793(w) + 8,2541$$

$$(5) \quad cu = 6,7431(w) - 20,836$$

$$(4) \quad cu = 8,6496(w) - 119,26$$